

ВЛИЯНИЕ ПОВЕРХНОСТНОЙ СВОБОДНОЙ ЭНЕРГИИ НА КРИТИЧЕСКОЕ ПОЛЕ H_{c3}

E. P. Подоляк*

*Институт физических проблем им. П. Л. Капицы Российской академии наук
119334, Москва, Россия*

Поступила в редакцию 11 апреля 2011 г.

Рассмотрена задача о возникновении поверхностной сверхпроводимости в сверхпроводнике первого рода с учетом поверхностной свободной энергии сверхпроводящей фазы. Показано, что пренебрежение поверхностной энергией приводит к значительной ошибке при определении параметра Гинзбурга–Ландау из измерений поля H_{c3} .

В теории Гинзбурга–Ландау [1] принято считать, что поверхностная свободная энергия сверхпроводящей фазы мала, и ее можно не учитывать. Поэтому при описании поверхностной сверхпроводимости получается следующее граничное условие на параметр порядка Ψ :

$$\Psi' = 0. \quad (1)$$

Здесь штрих обозначает производную по нормали к границе сверхпроводник–вакуум. (Здесь и далее мы используем лондоновскую калибровку, в которой на границе нормальная компонента векторного потенциала равна нулю.)

Предположение о малости поверхностной свободной энергии было подтверждено в работе [2], где получено граничное условие

$$\Psi' = \lambda_G \frac{\Psi}{\xi_0}, \quad (2)$$

где $\lambda_G \sim a_0/\xi_0 \ll 1$ имеет порядок отношения межатомного расстояния a_0 к среднему размеру куперовской пары ξ_0 . Для рассматриваемых здесь сверхпроводников это малая величина, $\lambda_G \approx 10^{-3}$.

Решение уравнений Гинзбурга–Ландау с граничным условием (1) приводит к известному соотношению между критическим полем поверхностной сверхпроводимости H_{c3} и термодинамическим критическим полем H_c :

$$H_{c3}(\tau) = 1.695 \kappa \sqrt{2} H_c(\tau), \quad (3)$$

*E-mail: podolyak@kapitza.ras.ru

где κ — параметр Гинзбурга–Ландау, а $\tau = (T - T_c)/T_c$ — приведенная температура. Подчеркнем, что в теории Гинзбурга–Ландау коэффициент в этом соотношении не зависит от температуры. Поэтому отношение критических полей (3) можно использовать для экспериментального определения параметра κ .

Однако результаты измерений [3, 4] показали, что для некоторых сверхпроводников (Al, In, Sn, Pb) наблюдается изменение отношения H_{c3}/H_c с температурой. При этом величина такого изменения превышает 10 % уже при $\tau \sim 10^{-2} \ll 1$, где не должно быть заметного отклонения от теории Гинзбурга–Ландау.

Естественным способом исправить это противоречие между экспериментальными результатами и теорией является уточнение граничного условия (1). Попытки сделать это в рамках теории БКШ (см. список работ в статье [3]) не дали удовлетворительного результата. До настоящего времени значения параметра κ для указанных сверхпроводников известны с невысокой точностью.

В данной работе мы рассмотрим вариационные граничные условия, определяемые поверхностной свободной энергией сверхпроводящей фазы. При этом поверхностную свободную энергию запишем в наиболее общем виде, соответствующем теории Гинзбурга–Ландау.

Вариационные граничные условия зависят как от поверхностной, так и от объемной свободной энергии. Поскольку нас интересует роль поверхностной свободной энергии, мы ограничимся рассмотрением

однородного сверхпроводника, объемная энергия которого имеет наиболее простой вид.

Плотность объемной свободной энергии сверхпроводника при постоянном внешнем поле H_0 можно представить в виде [5]

$$F_v = \alpha\tau|\Psi|^2 + \frac{\beta}{2}|\Psi|^4 + g \left| \left(\nabla - i\frac{2\pi}{\Phi_0}\mathbf{A} \right) \Psi \right|^2 + \frac{B^2}{8\pi} - \frac{BH_0}{4\pi}. \quad (4)$$

Здесь Φ_0 обозначает квант потока, B — индукцию магнитного поля в сверхпроводнике, \mathbf{A} — векторный потенциал. Теперь перейдем к безразмерным переменным. Для этого нам потребуются обозначения теории Гинзбурга–Ландау

$$\xi_0 = \sqrt{\frac{g}{\alpha}}, \quad \kappa = \frac{\Phi_0}{2\pi} \sqrt{\frac{\beta}{8\pi g^2}} \quad (5)$$

и естественные единицы: длины — $\xi(\tau)$, магнитного поля — $H_{c2}(\tau)$ и равновесного значения параметра порядка — $\Psi_0(\tau)$,

$$\begin{aligned} \xi(\tau) &= \frac{\xi_0}{\sqrt{-\tau}}, & H_{c2}(\tau) &= \frac{\Phi_0}{2\pi\xi_0^2}(-\tau), \\ |\Psi_0(\tau)|^2 &= \frac{\alpha}{\beta}(-\tau). \end{aligned} \quad (6)$$

В безразмерных переменных

$$\psi = \frac{\Psi}{|\Psi_0|}, \quad \mathbf{a} = \frac{\mathbf{A}}{H_{c2}\xi}, \quad b = \frac{B}{H_{c2}}, \quad h_0 = \frac{H_0}{H_{c2}} \quad (7)$$

плотность объемной энергии (4) имеет вид

$$F_v = \frac{\alpha^2}{\beta} \tau^2 \left\{ -|\psi|^2 + \frac{1}{2}|\psi|^4 + |\nabla\psi - i\mathbf{a}\psi|^2 + \kappa^2(b^2 - 2bh_0) \right\}. \quad (8)$$

Отметим, что F_v является суммой инвариантов второго порядка малости по τ .

Опуская общий размерный множитель $\alpha^2\tau^2/\beta$, можно вычислить свободную энергию сверхпроводящей фазы ($|\psi| = 1, b = 0$), равную $-1/2$, и свободную энергию нормальной фазы ($|\psi| = 0, b = h_0$), составляющую $-\kappa^2 h_0^2$. Условие существования фаз выполняется в термодинамическом критическом поле $h_0 = h_c = 1/\kappa\sqrt{2}$. Поскольку величина h_0 в рассматриваемой задаче является константой, мы можем отсчитывать свободную энергию сверхпроводника от энергии нормальной фазы, для чего добавим величину $\kappa^2 h_0^2$ к последнему слагаемому в формуле (8):

$$\mathcal{F}_v = -|\psi|^2 + \frac{1}{2}|\psi|^4 + |\nabla\psi - i\mathbf{a}\psi|^2 + \kappa^2(b - h_0)^2. \quad (9)$$

Поверхностную свободную энергию запишем в виде разложения по Ψ_s — значению параметра порядка Ψ на границе сверхпроводника:

$$F_s = (C_0 + C_1\tau)|\Psi_s|^2 + \frac{D_1}{2}|\Psi_s|^4 + G_1 \left| \left(\frac{\partial}{\partial l} - i\frac{2\pi}{\Phi_0}A_l \right) \Psi_s \right|^2. \quad (10)$$

Здесь индекс l обозначает компоненты градиента и векторного потенциала, направленные вдоль границы. В этом выражении присутствует слагаемое первого порядка малости по τ — $C_0|\Psi_s|^2$. Но, как следует из работы [2], коэффициент C_0 мал. Поэтому удерживание слагаемых второго порядка по τ не является превышением точности.

Будем считать, что внешнее поле направлено в плоскости границы вдоль оси z . Тогда, используя стандартную калибровку для одномерной (вдоль x) задачи, в которой векторный потенциал $\mathbf{a} = a(x)\mathbf{e}_y$ также направлен вдоль границы, а параметр порядка $\psi(x) = f(x)$ вещественный, запишем полную энергию в виде

$$\begin{aligned} E = \int_0^\infty dx &\left[(f')^2 + a^2 f^2 - f^2 + \frac{1}{2}f^4 + \kappa^2(b - h_0)^2 \right] + \\ &+ f^2(0) \left\{ \frac{\lambda_0}{\sqrt{-\tau}} + \left[-\lambda_1 + \gamma_1 a^2(0) + \right. \right. \\ &\left. \left. + \frac{\eta_1}{2}f^2(0) \right] \sqrt{-\tau} \right\}, \end{aligned} \quad (11)$$

где

$$\lambda_0 = \frac{C_0}{\alpha\xi_0}, \quad \lambda_1 = \frac{C_1}{\alpha\xi_0}, \quad \gamma_1 = \frac{G_1}{g\xi_0}, \quad \eta_1 = \frac{D_1}{\beta\xi_0}. \quad (12)$$

Зависимость поверхностной свободной энергии от температуры в выражении (11) является следствием приведения к безразмерному виду, при котором энергия Гинзбурга–Ландау (выражение под интегралом) от температуры не зависит.

Минимуму функционала (11) соответствуют уравнения Гинзбурга–Ландау

$$f'' = f(a^2 - 1 + f^2), \quad a' = b, \quad b' = \frac{f^2}{\kappa^2}a \quad (13)$$

с граничными условиями

$$\begin{aligned} f'(0) &= \lambda f(0) + \eta_1 \sqrt{-\tau} f^3(0), \\ b(0) &= h_0 + \gamma_1 \sqrt{-\tau} \frac{f^2(0)}{\kappa^2} a(0), \end{aligned} \quad (14)$$

где

$$\lambda = \frac{\lambda_0}{\sqrt{-\tau}} - \lambda_1 \sqrt{-\tau} + \gamma_1 \sqrt{-\tau} a^2(0). \quad (15)$$

Мы получили граничные условия общего вида, которые зависят от четырех параметров (12). Один из этих параметров — параметр де Жена λ_0 — имеет специальную малость. Мы используем обозначение λ_0 вместо λ_G из условия (2), чтобы подчеркнуть, что и знак, и величина параметра λ_0 могут заметно отличаться от значения λ_G , которое является оценкой «по порядку величины». По-видимому, в качестве оценки параметра λ_0 можно использовать выражение, полученное в работе [6]:

$$\lambda_0 \approx \frac{a_0}{\xi_0 \sqrt{2}} \frac{1}{\Lambda^2} \times \int_0^\infty dx \frac{N(x)}{N(\infty)} [V(x)N(x) - V(\infty)N(\infty)], \quad (16)$$

где $N(x)$ — локальная плотность состояний на уровне Ферми, $V(x)$ — куперовская константа взаимодействия и $\Lambda = V(\infty)N(\infty)$ ($\Lambda \approx 0.2\text{--}0.3$).

Параметр γ_1 определяет поверхностный ток и скачок поля на границе сверхпроводника, происхождение которых можно объяснить нелокальностью соотношения между сверхпроводящим током и векторным потенциалом. Поэтому мы называем γ_1 параметром Пиппарда. Подчеркнем, что количественный анализ параметров (12) выходит за рамки рассматриваемой здесь феноменологической модели и может быть проведен только в терминах микроскопической теории.

Критическое поле h_{sc} , в котором возникает поверхностная сверхпроводимость, можно найти из линеаризованной задачи на собственные значения

$$f'' = f (a^2 - 1) \quad (17)$$

с граничным условием

$$f'(0) = \lambda f(0), \quad (18)$$

где векторный потенциал $a(x) = h_0(x - x^*)$ соответствует невозмущенному полю. Параметр x^* имеет смысл координаты смены знака сверхпроводящего тока и подбирается так, чтобы поле h_{sc} было максимальным.

Особенностью задачи (17), (18) является то, что параметр λ нельзя рассматривать как независимую величину. Согласно формуле (15) он зависит от значения $a(0)$, которое, в свою очередь, определяется из решения уравнения (17). Поэтому решение задачи (17), (18), представленное на рис. 1, является функцией двух переменных: $h_{sc} = \mathcal{H}(\lambda, \varepsilon)$, где $\varepsilon = \gamma_1 \sqrt{-\tau}$.

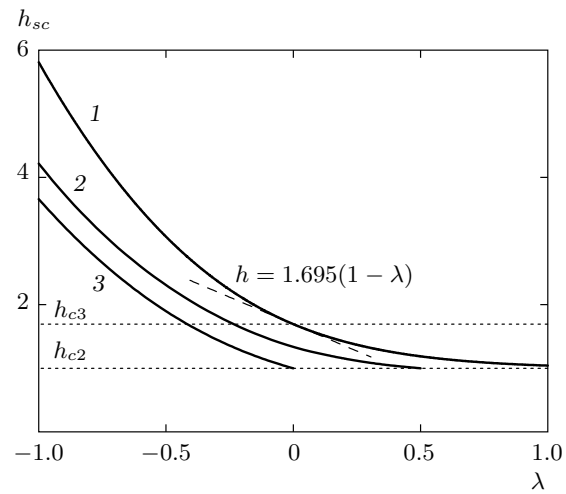


Рис. 1. Зависимость поля $h_{sc} = \mathcal{H}(\lambda, \varepsilon)$ от параметра λ для нескольких значений ε : $\varepsilon = 0$ (1), $\varepsilon = 1$ (2), $\varepsilon \rightarrow \infty$ (3)

При $\varepsilon = 0$ зависимость $\mathcal{H}(\lambda, 0)$ была получена в работе [7]. Она изображена кривой 1 на рис. 1. Значению $\lambda = 0$ соответствует поле $h_{sc} = h_{c3} = 1.695$, и при $|\lambda| \ll 1$ справедлива аппроксимация $h_{sc} \approx h_{c3}(1 - \lambda)$. Отметим также, что при $\lambda > 0$ поле $h_{sc} < h_{c3}$, т. е. поверхностная сверхпроводимость подавляется, и при $\lambda \rightarrow +\infty$ поле стремится к $h_{sc} \rightarrow h_{c2} = 1$.

Чтобы получить температурную зависимость $h_{sc}(\tau)$, необходимо выяснить зависимость $\lambda(\tau)$. Для этого нужно определить значение $a(0)$ в формуле (15). Это можно сделать, используя значение первого интеграла уравнений Гинзбурга — Ландау

$$(f')^2 + \kappa^2(b^2 - h_0^2) = a^2 f^2 - f^2 + \frac{1}{2} f^4 \quad (19)$$

при $x = 0$. Подставив граничные условия (14) и переходя к пределу $f(0) \rightarrow 0$, получаем

$$a(0) = h_0 \varepsilon - \sqrt{1 + \lambda^2 + h_0^2 \varepsilon^2}. \quad (20)$$

Исключая $a(0)$ из (15), получаем уравнение четвертой степени относительно λ :

$$\left[\lambda^2 - \frac{\lambda}{\varepsilon} + K \right]^2 = 4h_0^2 \varepsilon^2 (1 + \lambda^2 + h_0^2 \varepsilon^2), \quad (21)$$

$$K = \frac{\lambda_0}{\gamma_1(-\tau)} + 1 - \frac{\lambda_1}{\gamma_1} + 2h_0^2 \varepsilon^2,$$

которое в неявном виде определяет зависимость $\lambda(\tau)$.

При $h_0\varepsilon \ll 1$ можно использовать приближенное соотношение $a(0) \approx -\sqrt{1 + \lambda^2}$ и понизить степень уравнения до второй. Решение этого уравнения

$$\lambda(\tau) = \frac{1 - \sqrt{1 - 4\gamma_1\lambda_0 - \tau} 4\gamma_1(\lambda_1 - \gamma_1)}{2\gamma_1\sqrt{-\tau}} \quad (22)$$

дает искомую температурную зависимость: $h_{sc}(\tau) = \mathcal{H}(\lambda(\tau), 0)$.

В выражении (22) можно выделить характерную температуру

$$\tau^* = \frac{1}{4\gamma_1(\lambda_1 - \gamma_1)}, \quad (23)$$

которая разделяет два предельных случая. При $(-\tau) \ll \tau^*$ (и $4\gamma_1|\lambda_0| \ll 1$) выражение (22) можно упростить:

$$\lambda(\tau) \approx \frac{1}{\sqrt{-\tau}}\lambda_0 - \sqrt{-\tau}(\lambda_1 - \gamma_1), \quad (24)$$

что соответствует значению $a(0) = -1$. Другой предельный случай $(-\tau) \gg \tau^*$:

$$\lambda(\tau) \approx -\sqrt{\frac{\lambda_1 - \gamma_1}{\gamma_1}} \quad (25)$$

приводит к линейной зависимости $H_{sc}(\tau)$, которая имеет больший наклон, чем $H_{c3}(\tau)$.

При $h_0\varepsilon \gg \sqrt{1 + \lambda^2}$ из формулы (20) следует

$$a(0) \approx -\frac{1 + \lambda^2}{2h_0\varepsilon} \rightarrow 0, \quad (26)$$

что позволяет пренебречь последним слагаемым в формуле (15). В этом случае получается температурная зависимость $h_{sc}(\tau) = \mathcal{H}(\lambda(\tau), \infty)$, где

$$\lambda(\tau) \approx \frac{\lambda_0}{\sqrt{-\tau}} - \lambda_1\sqrt{-\tau}. \quad (27)$$

Приведенные выше рассуждения достаточно хорошо описывают зависимость $\lambda(\tau)$, но для функции $\mathcal{H}(\lambda, \varepsilon)$ необходимо использовать численную аппроксимацию. Кроме того, при $h_0\varepsilon \sim 1$ зависимость $h_{sc}(\tau)$ можно получить только численным решением задачи (17), (18).

Чтобы сравнивать полученные результаты с экспериментом, удобно ввести (как это было сделано в экспериментальных работах) эффективное значение $\kappa_{sc}(\tau)$ и его отклонение от параметра κ

$$\kappa_{sc}(\tau) = \frac{h_{sc}(\tau)}{h_{c3}}\kappa, \quad \frac{\delta\kappa(\tau)}{\kappa} = \frac{h_{sc}(\tau) - h_{c3}}{h_{c3}}. \quad (28)$$

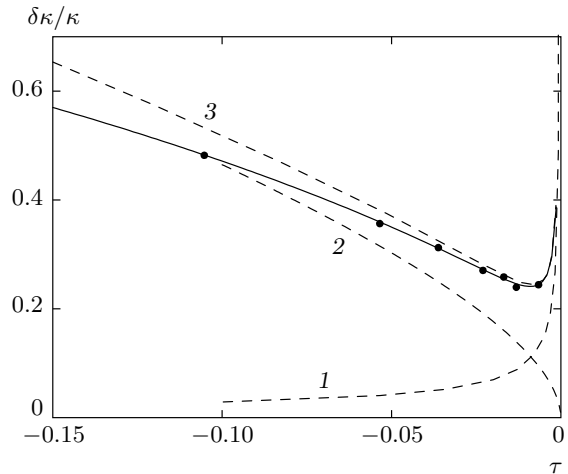


Рис. 2. Зависимость относительного изменения κ_{sc} от приведенной температуры τ для различных $\lambda(\tau)$. Сплошная линия — расчет по формуле (22) с параметрами $\lambda_0 = -9.1 \cdot 10^{-3}$, $\lambda_1 = 1.76$, $\gamma_1 = 0.72$. Штриховыми линиями обозначены следующие аппроксимации: 1 — $\lambda_0/\sqrt{-\tau}$, 2 — $\sqrt{-\tau}(\gamma_1 - \lambda_1)$, 3 — формула (24). Точки — данные работы [3] для олова

Эти выражения оказываются удобными, поскольку при малых λ и ε справедливо соотношение

$$\frac{\delta\kappa(\tau)}{\kappa} \approx -\lambda(\tau). \quad (29)$$

На рис. 2 приведена зависимость $\delta\kappa(\tau)/\kappa$ для олова по данным работы [3], которая получена с помощью модели (22) с параметрами $\lambda_0 = -9.1 \cdot 10^{-3}$, $\lambda_1 = 1.76$, $\gamma_1 = 0.72$. Здесь важно отметить, что из-за медленного убывания функции $1/\sqrt{-\tau}$ существование второго слагаемого в формуле (24), пропорционального $\sqrt{-\tau}$, на рисунке не видно. Наоборот, из рисунка следует, что левая часть кривой — это слабо изогнутая линейная зависимость, которую можно «гладко» экстраполировать в $\tau = 0$. Но такая экстраполяция, как видно на рисунке, дает оценку для κ , завышенную на 20 %. Действительно, для олова в работе [3] из экстраполяции в $\tau = 0$ получено значение $\kappa \approx 0.093$, в то время как аппроксимация (22) дает $\kappa \approx 0.075$. В работе [4] зависимость $\kappa_{sc}(\tau)$ для олова существенно отличается от приведенной в работе [3], тем не менее мы получили близкое значение, $\kappa \approx 0.073$.

Поскольку для рассматриваемых данных величина $h_0\varepsilon$ изменяется в диапазоне $0.1 < h_0\varepsilon < 0.7$ и условие $h_0\varepsilon \ll 1$, при котором получена аппроксимация (22), не выполнено, мы также определили

параметр κ , используя прямое решение задачи (17), (18). При этом получилось несколько большее значение, $\kappa \approx 0.079$.

Завышение параметра κ при экстраполяции $\kappa_{sc}(\tau)$ в $\tau = 0$ имеет место и для индия. Экстраполяция [3] дает $\kappa \approx 0.062$, в то время как из аппроксимации (22) следует $\kappa \approx 0.05$.

Отметим, что целью экспериментальных работ было изучение зависимости $\kappa_{sc}(\tau)$ для ее последующей экстраполяции в $\tau = 0$. При этом поведение кривой в ближайшей окрестности T_c приписывалось размерным эффектам и детальные измерения в этой области температур не проводились.

Недавние исследования поверхностной сверхпроводимости свинца [8], в которых измерения проводились в непосредственной окрестности T_c , показали хорошее согласие между наблюдаемой зависимостью $h_{sc}(\tau)$ и представленной здесь моделью. В указанной работе для свинца получено значение параметра Гинзбурга–Ландау, равное $\kappa \approx 0.2$.

В граничном условии (18), (15) отсутствует параметр η_1 . Это естественно, поскольку в линейной задаче мы пренебрегаем слагаемым, пропорциональным $f^4(0)$. Однако этот параметр также можно определить из эксперимента. Дело в том, что в поле $h_{sc}(\tau)$ возможны два сценария: 1) возникает локализованное поверхностное состояние, которое устойчиво в некотором диапазоне полей и температур, или 2) возникает неустойчивое состояние, и сверхпроводимость сразу распространяется на весь объем образца. Если не учитывать поверхностную свободную энергию, то выбор сценария определяется значением параметра κ . Эта задача была рассмотрена в работе [9], в которой определено критическое значение параметра Гинзбурга–Ландау $\kappa_F \approx 0.405$ (точка Федера). При $\kappa < \kappa_F$ в поле h_{c3} возникает объемная сверхпроводимость, а при $\kappa > \kappa_F$ существуют устойчивые поверхностные состояния [10].

Если поверхностная свободная энергия отлична от нуля, то положение критической точки Федера зависит не только от параметра Гинзбурга–Ландау, но и от параметров (12) поверхностной свободной энергии. Рассмотрим устойчивость поверхностного состояния вблизи кривой $h_{sc}(\tau)$ при $f \rightarrow 0$. Это проще всего сделать, если вычислить значение энергии E_0 в экстремуме функционала (11). Для этого проинтегрируем слагаемое $(f')^2$ в формуле (11) по частям и подставим выражение (13) для $f''(x)$ и (14) для $f'(0)$:

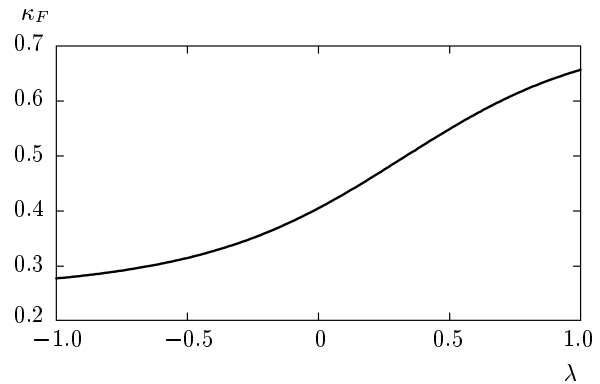


Рис. 3. Зависимость критического значения $\kappa_F(\lambda)$ при $\gamma_1 = \eta_1 = 0$. Значению $\lambda = 0$ соответствует $\kappa_F \approx 0.405$

$$E_0 = \int_0^\infty \left[\kappa^2(b - h_0)^2 - \frac{1}{2}f^4 \right] dx - \frac{\eta_1}{2}f^4(0). \quad (30)$$

Поскольку при приближении к кривой $h_{sc}(\tau)$ имеем $f \rightarrow 0$ и $(b - h_0) \propto f^2$, энергия (30) обращается в нуль как $E_0 \approx cf^4(0)$. При этом коэффициент c меняет знак в критической точке. Поэтому можно выразить η_1 через решение $a(x)$, $f(x)$ линейной задачи (17), (18).

$$\eta_1 = \frac{1}{f^4(0)} \int_0^\infty \left[\frac{2}{\kappa^2} u^2(x) - f^4(x) \right] dx, \quad (31)$$

$$u(x) = \int_x^\infty a(\tilde{x})f^2(\tilde{x}) d\tilde{x}.$$

Таким образом, зная положение точки Федера на кривой $h_{sc}(\tau)$ и три параметра, определяющие граничное условие (15) линейной задачи, можно определить и значение параметра η_1 . В качестве иллюстрации влияния параметров (12) на критическое значение κ_F на рис. 3 приведена зависимость $\kappa_F(\lambda)$ при $\gamma_1 = \eta_1 = 0$.

Если рассматривать поверхностную свободную энергию как температурную поправку к энергии Гинзбурга–Ландау, то возникает вопрос о поправках следующего порядка малости по τ . Это поправки к плотности объемной энергии (4), имеющие малость порядка τ^3 . Они были рассмотрены в работе [11], где показано, что при $(-\tau) \ll 1$ такие поправки приводят к зависимости

$$\frac{\delta\kappa(\tau)}{\kappa} \approx 0.41(-\tau). \quad (32)$$

Как и следовало ожидать, вблизи T_c величина эффективов, рассмотренных в данной работе, значительно больше, чем значение из формулы (32).

Поскольку толщина поверхностного состояния порядка $\xi(\tau)$ пропорциональна $1/\sqrt{-\tau}$, можно заключить, что поправки к объемной энергии приводят к целым степеням τ в зависимости $\kappa_{sc}(\tau)$, а слагаемые в поверхностной энергии — к полуцелым степеням. Это утверждение согласуется с результатами, которые получаются в рамках теории БКШ. В частности, в работе [12] была получена корневая зависимость $\kappa_{sc}(\tau)$ из анализа условий отражения электронов от границы с вакуумом.

Последний вопрос, который следует обсудить в данной работе, касается критической температуры поверхностной сверхпроводимости в нулевом поле. При температурах выше T_c объемная энергия меняет знак и становится положительной, а поверхностная свободная энергия остается отрицательной (при $\lambda_0 < 0$) и конечной. Потому полная энергия поверхностного состояния остается отрицательной вплоть до некоторой температуры τ_s , где сверхпроводимость исчезает [13]. Можно показать, что τ_s удовлетворяет уравнению

$$\tau_s = (\lambda_0 + \lambda_1 \tau_s)^2 \lesssim \lambda_0^2. \quad (33)$$

Существование поверхностной сверхпроводимости выше T_c экспериментально обнаружить очень трудно из-за малой величины параметра λ_0 .

Автор выражает глубокую признательность В. И. Марченко и И. Н. Хлюстикову за многочисленные полезные обсуждения. На начальном этапе

работа была выполнена при финансовой поддержке РФФИ (грант № 06-02-17294а).

ЛИТЕРАТУРА

1. Е. М. Лифшиц, Л. П. Питаевский, *Статистическая физика*, ч. 2, Наука, Москва (2000).
2. П. Де Жен, *Сверхпроводимость металлов и сплавов*, Мир, Москва (1968).
3. J. Feder and D. S. McLachlan, Phys. Rev. **177**, 763 (1969).
4. И. Н. Хлюстиков, ЖЭТФ **129**, 294 (2006).
5. М. Тинкхам, *Введение в сверхпроводимость*, Атомиздат, Москва (1980).
6. И. М. Суслов, частное сообщение; ЖЭТФ **95**, 949 (1989); ЖЭТФ **111**, 717 (1997).
7. H. J. Fink and W. C. H. Joiner, Phys. Rev. Lett. **23**, 120 (1969).
8. И. Н. Хлюстиков, ЖЭТФ **140**, 1181 (2011).
9. J. Feder, Sol. St. Comm. **5**, 299 (1967).
10. В. И. Марченко, Е. Р. Подоляк, ЖЭТФ **124**, 172 (2003).
11. Л. П. Горьков, ЖЭТФ **37**, 833 (1959).
12. G. Lüders, Z. Phys. **209**, 219 (1968).
13. И. Н. Хлюстиков, А. И. Буздин, УФН **155**, 47 (1988).